

医薬化学 1

遷移金属触媒化学の基礎

2019年度 A1 前半 (9/26, 10/3, 10/10, 10/17) : 合成・金井担当
木曜 2限 10:25~12:10 (10/17は 10:25~11:15)

スケジュール

- 9月 26日 触媒の概念、遷移金属と配位子の結合、Cu触媒による共役付加とPd触媒によるWacker酸化：金属- π 錯体
- 10月 3日 Pd触媒によるクロスカップリング反応と応用：熊田-玉尾-Corriu, 小杉-右田-Stille, 根岸, 鈴木-宮浦, 檜山, 菊頭 coupling
- 10月 10日 Pd触媒によるクロスカップリング反応と応用：Heck反応, 辻-Trost反応
- 10月 17日 オレフィンメタセシス、触媒化学と生命科学の接点

表1・1 遷移金属の酸化数とd電子数との関係

族番号	6	7	8	9	10	11
	Cr	Mn	Fe	Co	Ni	Cu
	Mo	Tc	Ru	Rh	Pd	Ag
	W	Re	Os	Ir	Pt	Au
酸化数	d電子数					
0	6	7	8	9	10	11
I	5	6	7	8	9	10
II	4	5	6	7	8	9
III	3	4	5	6	7	8
IV	2	3	4	5	6	

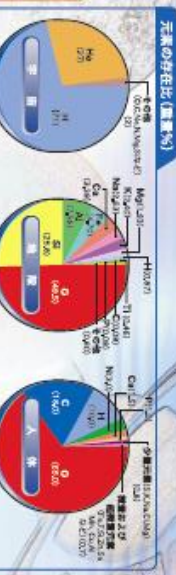
表1・2 電子数16および18の錯体

錯体	酸化数	配位数	金属からのd電子数	配位子からの電子数	全電子数
Pd(PPh ₃) ₄	0	4	Pd(0) 10	4(PPh ₃)	2×4=8 18
PdCl ₂ (PPh ₃) ₂	II	4	Pd(II) 8	2(Cl), 2(PPh ₃)	2×4=8 16
Ni(cod) ₂	0	4	Ni(0) 10	4(二重結合)	2×4=8 18
Ni(CO) ₄	0	4	Ni(0) 10	4(CO)	2×4=8 18
Cp ₂ Fe フェロセン	II	6	Fe(II) 6	2(Cp アニオン), 4(二重結合)	2×6=12 18
Fe(CO) ₅	0	5	Fe(0) 8	5(CO)	2×5=10 18
Mo(CO) ₆	0	6	Mo(0) 6	6(CO)	2×6=12 18
RuCl ₂ (PCy ₃) ₂ (カルベン)	II	5	Ru(II) 6	2(Cl), 2(PCy ₃), カルベン	2×5=10 16
Grubbs触媒					
RhCl(PPh ₃) ₃ Wilkinson錯体	I	4	Rh(I) 8	Cl, 3(PPh ₃)	2×4=8 16

元素周期表

Periodic Table of the Elements

自然も暮らしもすべて元素記号で書かれている



元素周期表

Periodic Table of the Elements

元素記号	元素名	説明
H	Hydrogen	水素
D	Diamond	ダイヤモンド
T	Tritium	トリチウム
Li	Lithium	リチウム
B	Boron	ボルン
C	Carbon	カーボン
N	Nitrogen	窒素
O	Oxygen	酸素
F	Fluorine	フッ素
Ne	Neon	ネオン
Na	Sodium	ナトリウム
Mg	Magnesium	マグネシウム
Al	Aluminum	アルミニウム
Si	Silicon	シリコン
P	Phosphorus	ホウ素
S	Sulfur	スルファ
Cl	Chlorine	クロロ
K	Kalium	カリウム
Ca	Calcium	カルシウム
Sc	Samarium	サマリウム
Ti	Titanium	チタニウム
V	Vanadium	ヴァナデイウム
Cr	Chromium	クロム
Mn	Manganese	マンガニウム
Fe	Iron	鉄
Co	Cobalt	コバルト
Ni	Nickel	ニッケル
Cu	Copper	銅
Zn	Zinc	亜鉛
Ga	Gallium	ガリウム
In	Inium	インジウム
Tl	Thallium	タルリウム
Pb	Lead	鉛
Bi	Bismuth	ビスマス
Ra	Radium	ラジウム
Fr	Francium	フランシウム
Pa	Protactinium	プロトアクチニウム
U	Uranium	ウラニウム

元素の性質比(電子構造)

元素記号

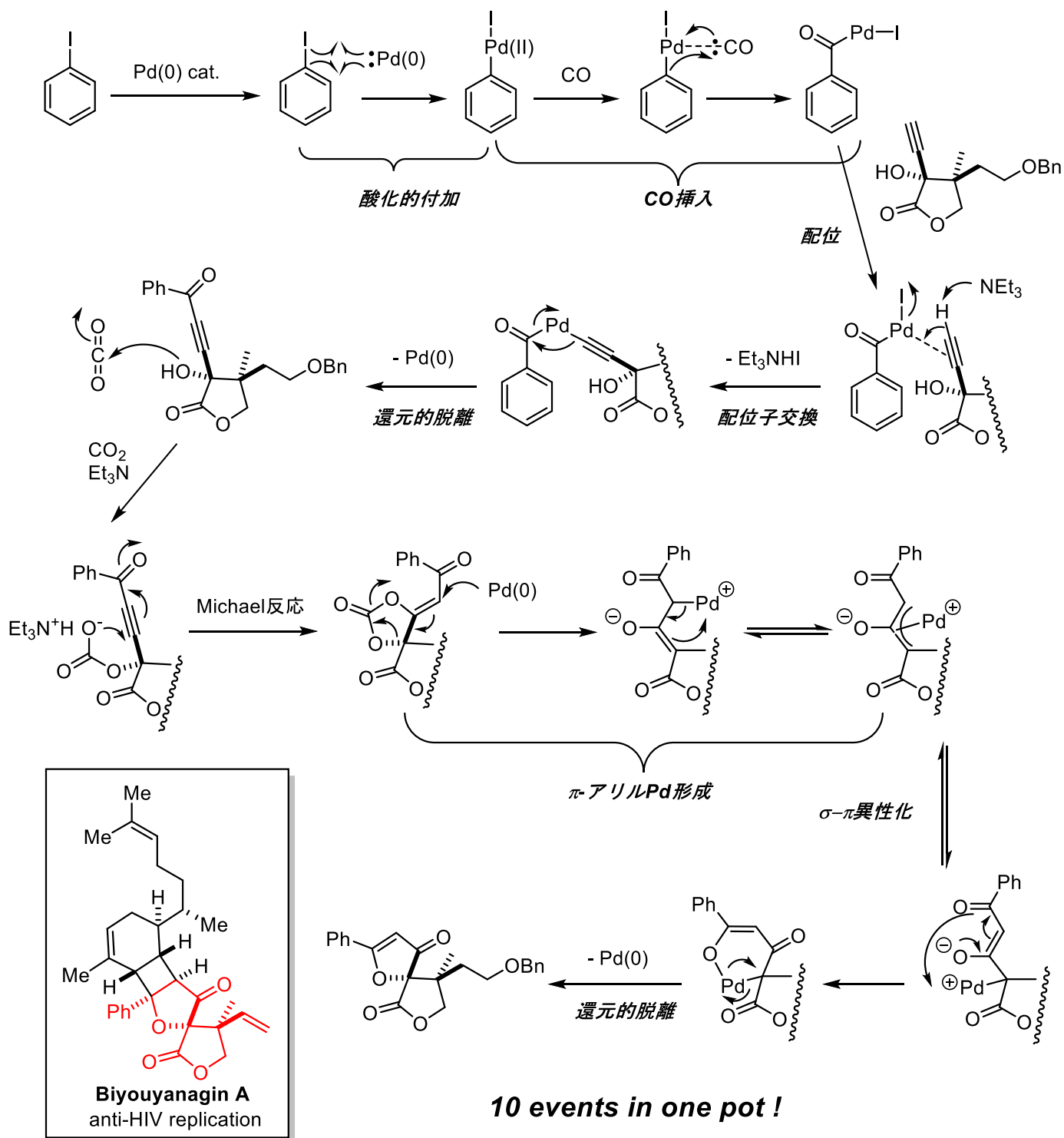
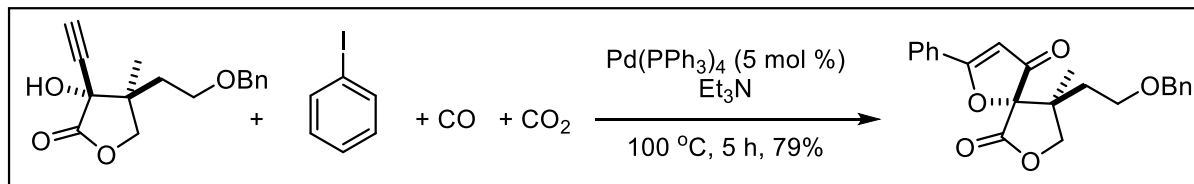
元素名

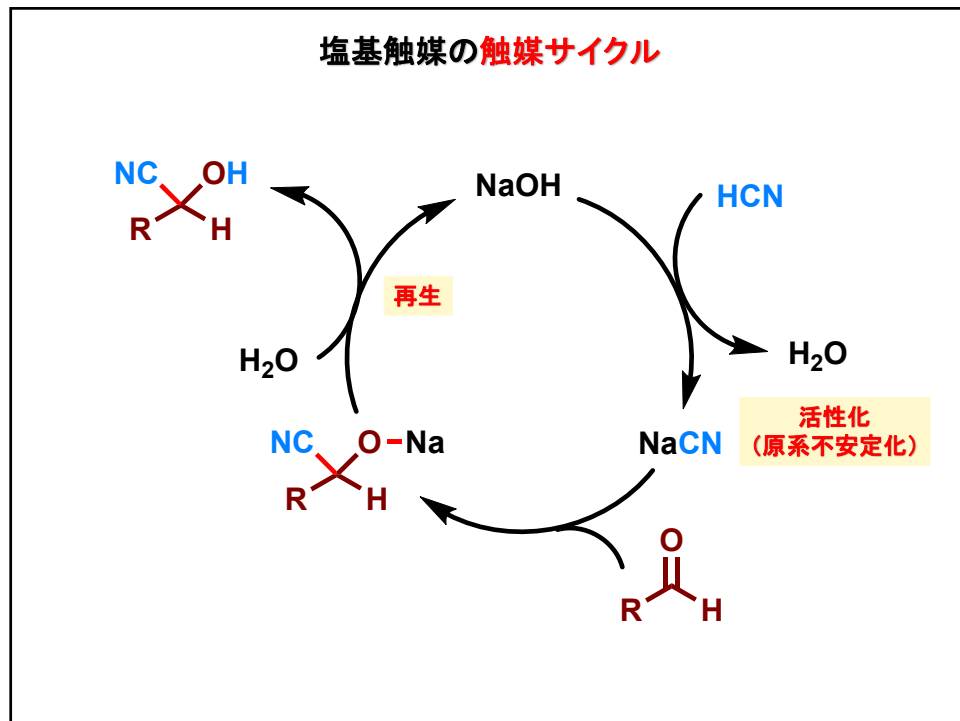
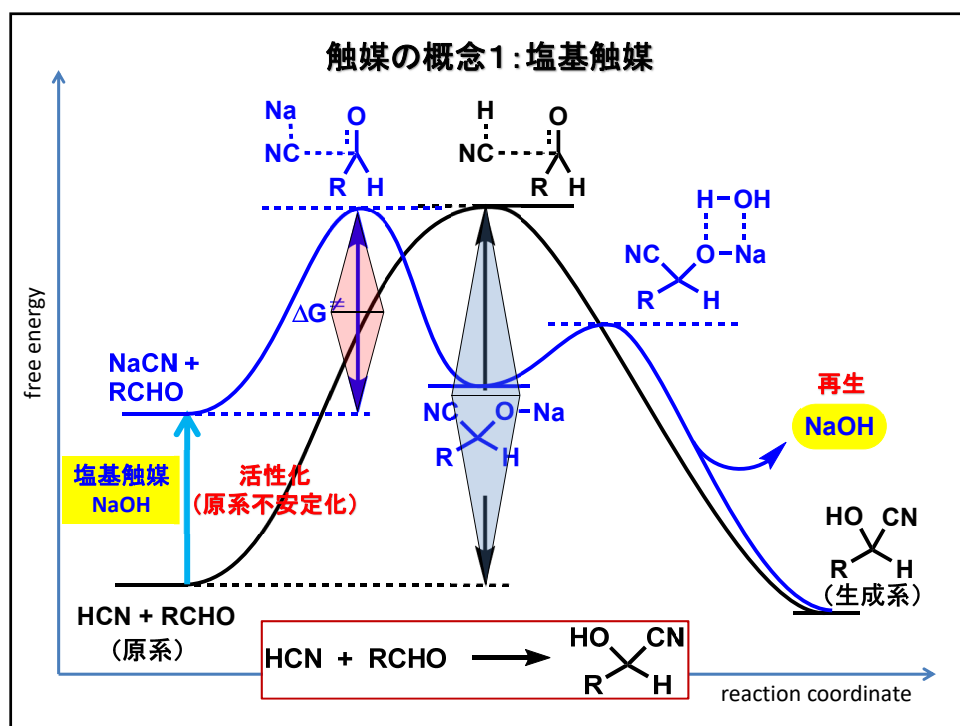
説明

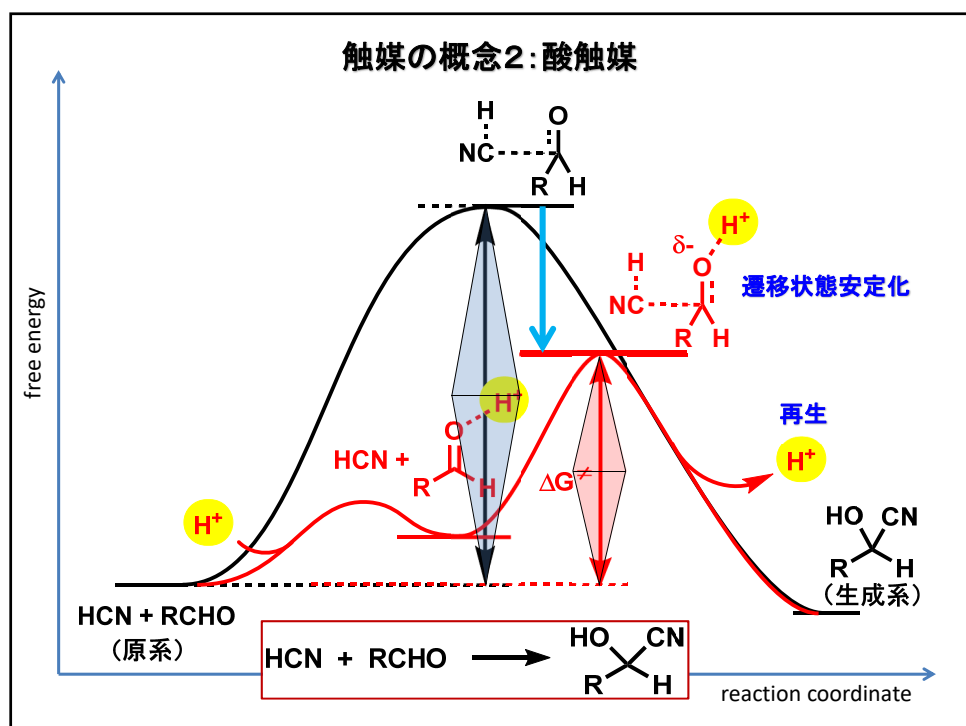
医薬化学1 金井担当分

「遷移金属触媒化学の基礎」キーワード

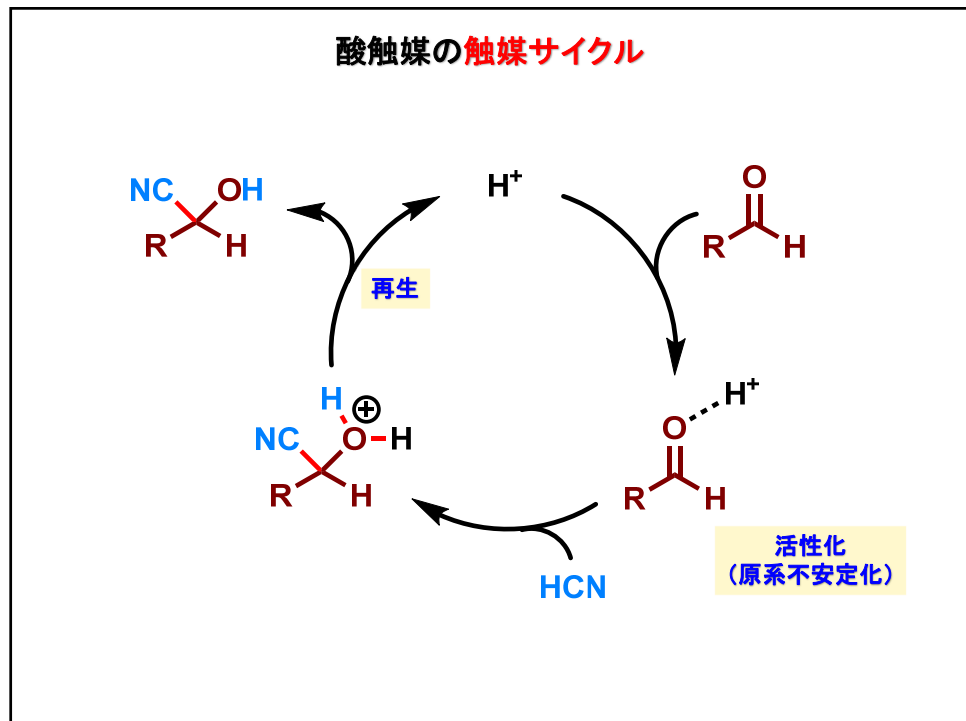
1. 還移金属と配位子の結合
オクテット則、18電子則、逆供与 (back donation)、Tolman のパラメーター
2. Cu触媒による共役付加：逆供与型金属—オレフィン錯体
金属交換 (transmetalation)、アート錯体、d-π*錯体、野依3成分プロスタグラニン合成、
3. Pd触媒による Wacker 酸化：供与型金属—オレフィン錯体 2
β—ヒドリド脱離、還元的脱離、化学選択性 (末端 C=C 選択的)、ヒドロホウ素化
4. Pd触媒によるクロスカップリング反応
熊田—玉尾—Corriu coupling, 小杉—右田—Stille coupling, 根岸 coupling, 鈴木—宮浦 coupling, 檜山 coupling, 菊頭 coupling、酸化的付加、金属交換、還元的脱離
5. Heck 反応
酸化的付加、*syn*—オレフィン挿入、*syn*—β—ヒドリド脱離、還元的脱離、立体化学、連続反応、カルボニル化反応、CO挿入
6. π—アリル Pd を経由するアリル化反応
辻—Trost 反応、酸化的付加、異性化、π—アリルパラジウム中間体、ソフト/ハード求核剤、アリル炭酸エステル、塩基、Curtius 転位
7. オレフィンメタセシス
Grubbs 触媒、Schrock 触媒、メタルカルベノイド、重合、ROMP、[2+2]環化、逆[2+2]







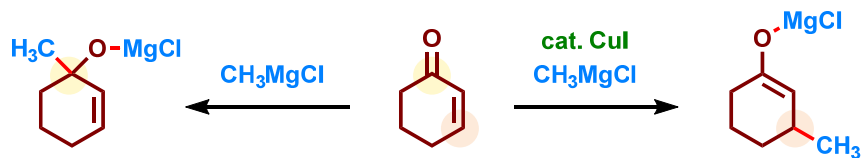
3



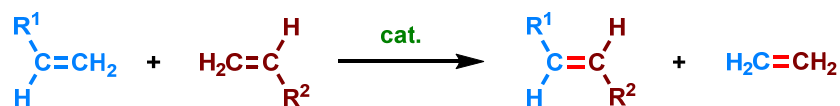
4

酸・塩基とは全く異なる触媒が有ります。例えば、、、

1. 銅触媒による1,4-付加



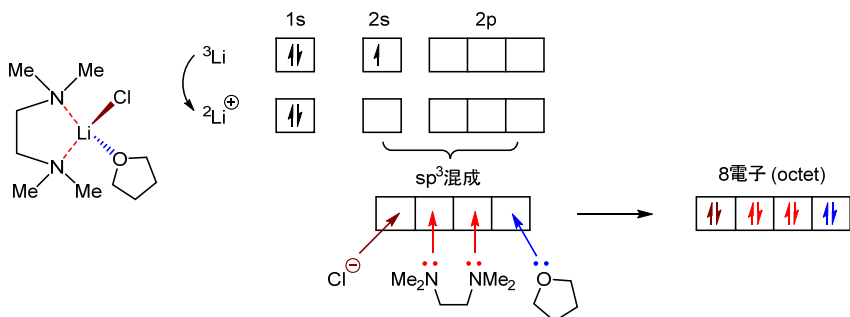
2. オレフィンメタセシス



5

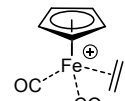
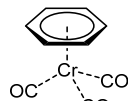
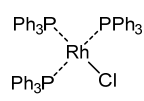
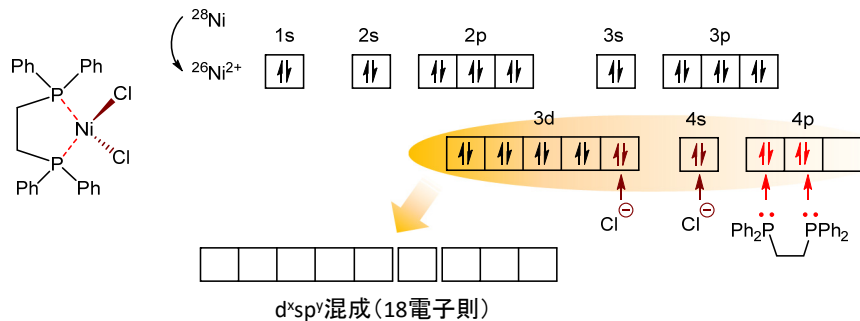
1. 遷移金属と配位子の結合

1-1. 典型金属と配位子の結合



6

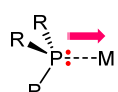
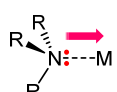
1-2. 遷移金属と配位子の結合



7

1-3. 配位子により金属の電子密度を調節できる

- ◆ **σ供与結合**: 配位子の充填 sp^3 混成軌道と金属の空の $d^5 s^2 p^2 y$ 混成軌道との重なり



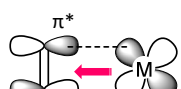
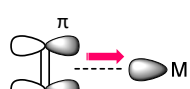
電子の流れ
= 金属の電子密度を増大させる

- ◆ **π結合**

配位子の充填軌道と金属の空の $d^5 s^2 p^2 y$ 混成軌道の重なり(供与)
= 金属の電子密度を増大させる

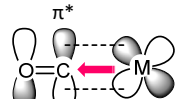
金属の充填 $d^5 s^2 p^2 y$ 軌道から配位子の空の π^* 軌道との重なり(逆供与)
= 金属の電子密度を減少させる

アルケン



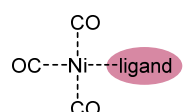
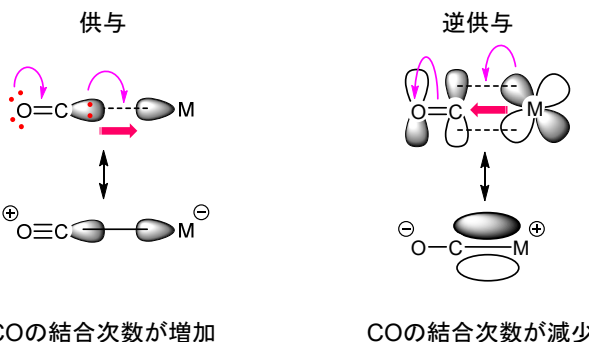
$d \rightarrow \pi^*$
● 軌道対称性が同じ
● エネルギー準位が同程度

-酸化炭素



8

1-4. 供与/逆供与の定量化:Tolmanのパラメータ

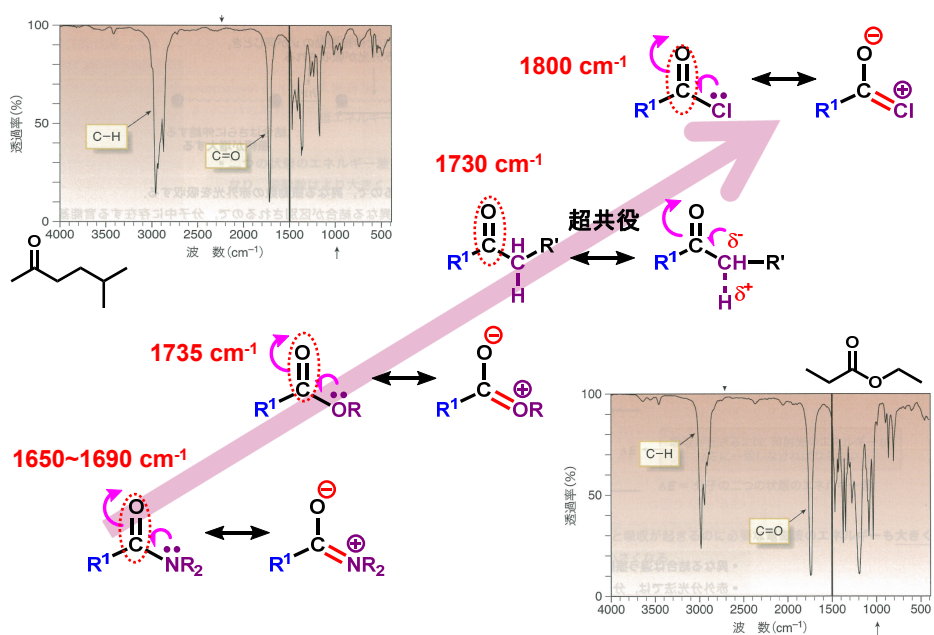


ligand	$(\text{PhO})_3\text{P}$	Ph_3P	$t\text{-Bu}_3\text{P}$
$\nu(\text{CO})$	2085 cm^{-1}	2069 cm^{-1}	2056 cm^{-1}

cf. 遊離CO: 2143 cm^{-1}

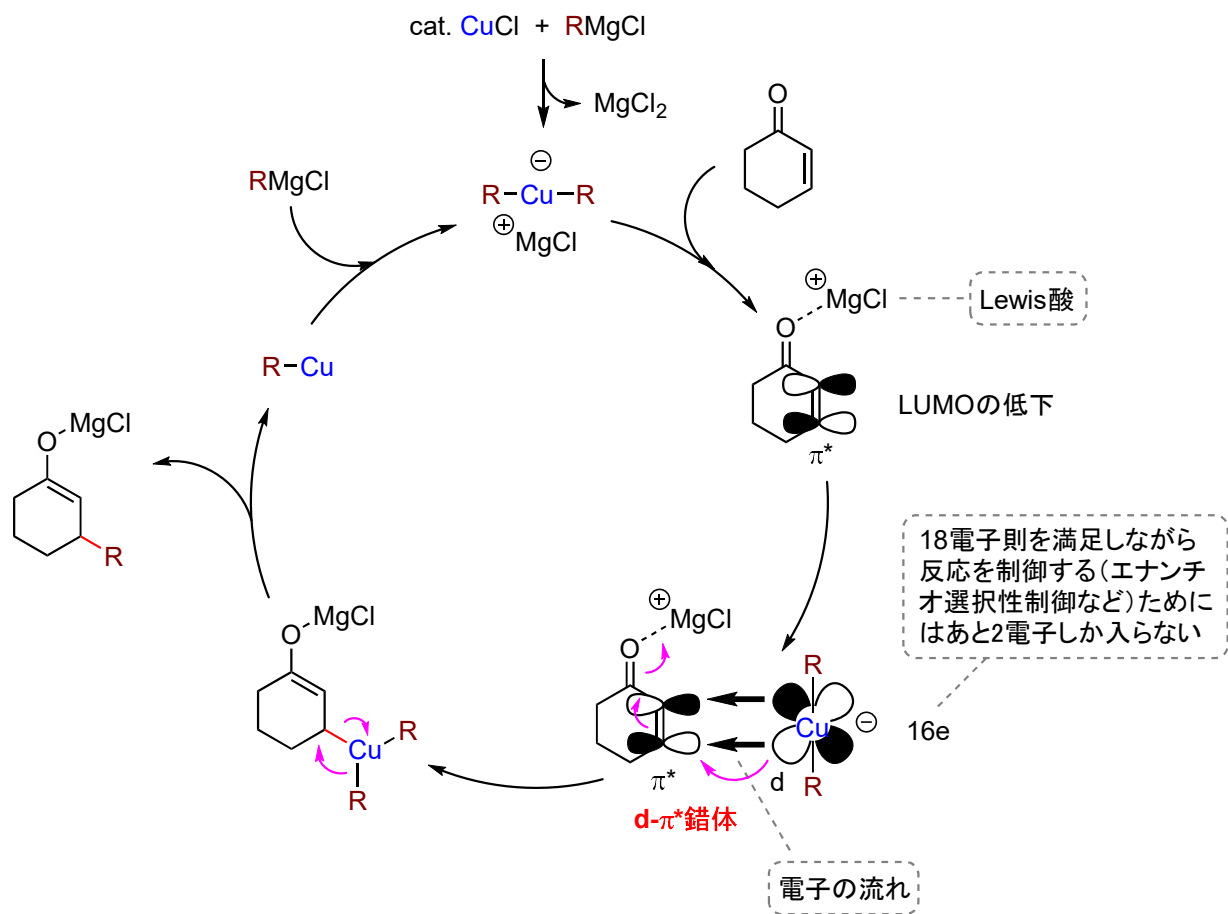
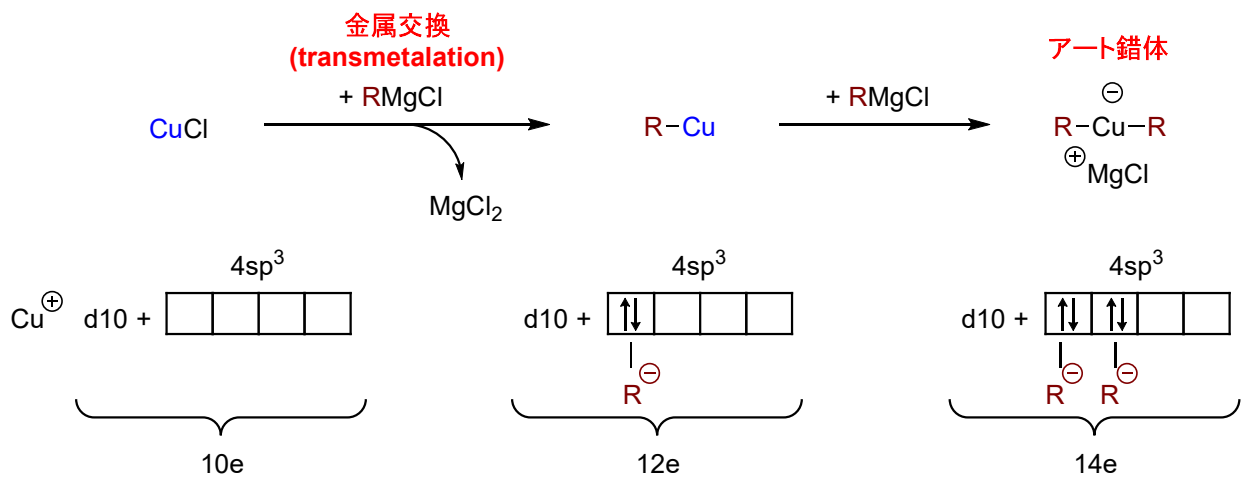
9

共鳴効果の評価:赤外分光法



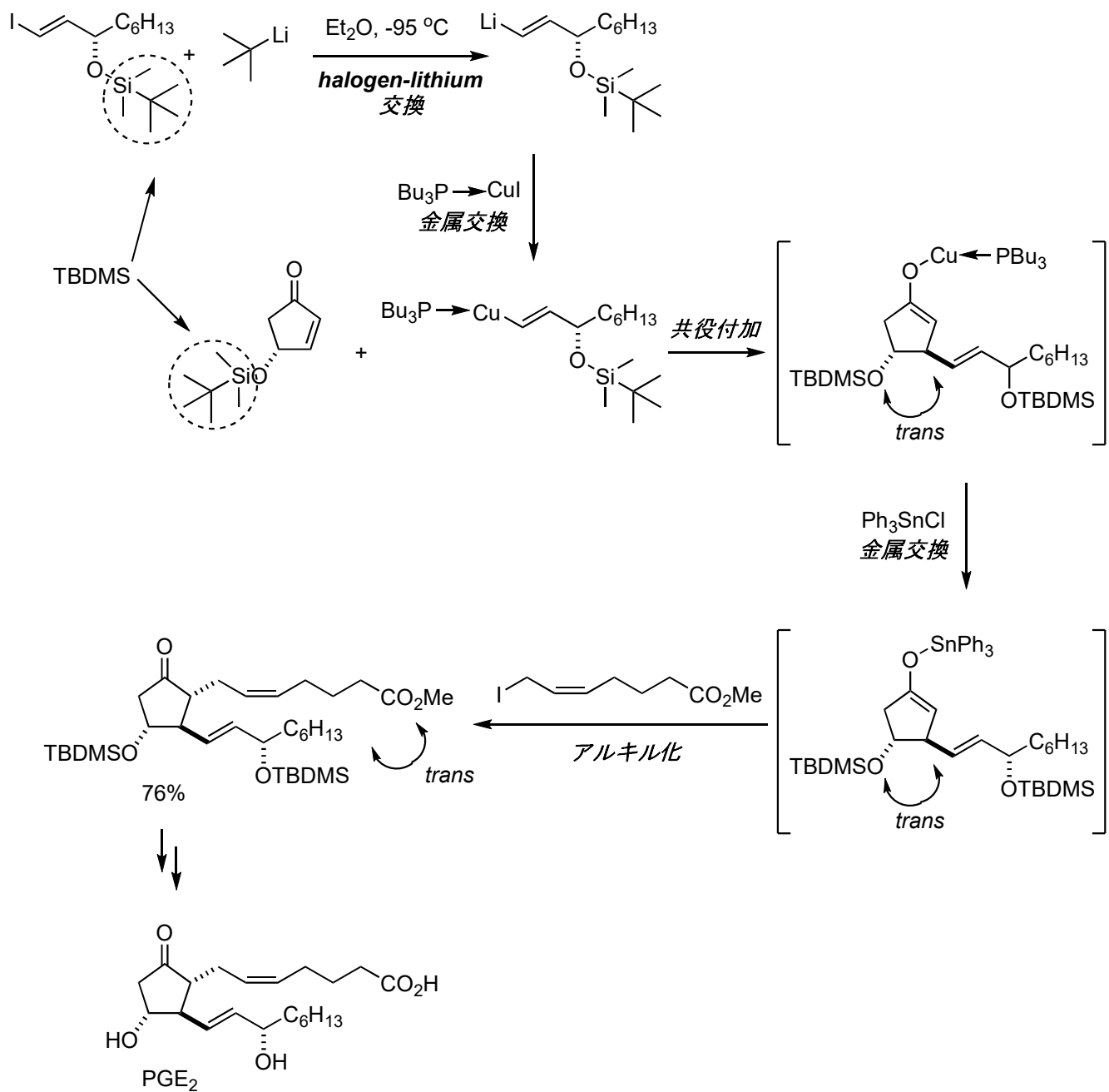
10

2. Cu触媒による共役付加



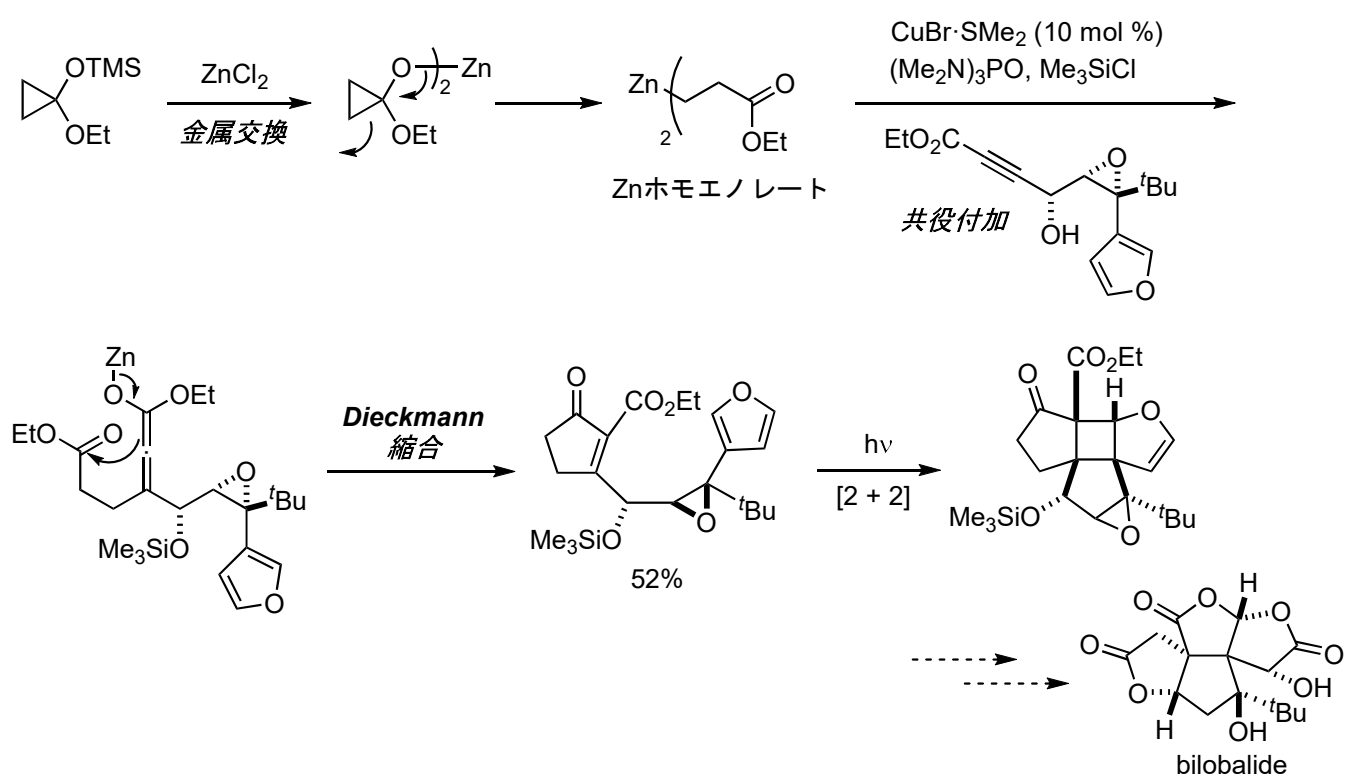
1. Noyori's Prostaglandin Synthesis

JACS 1988, 110, 4718.



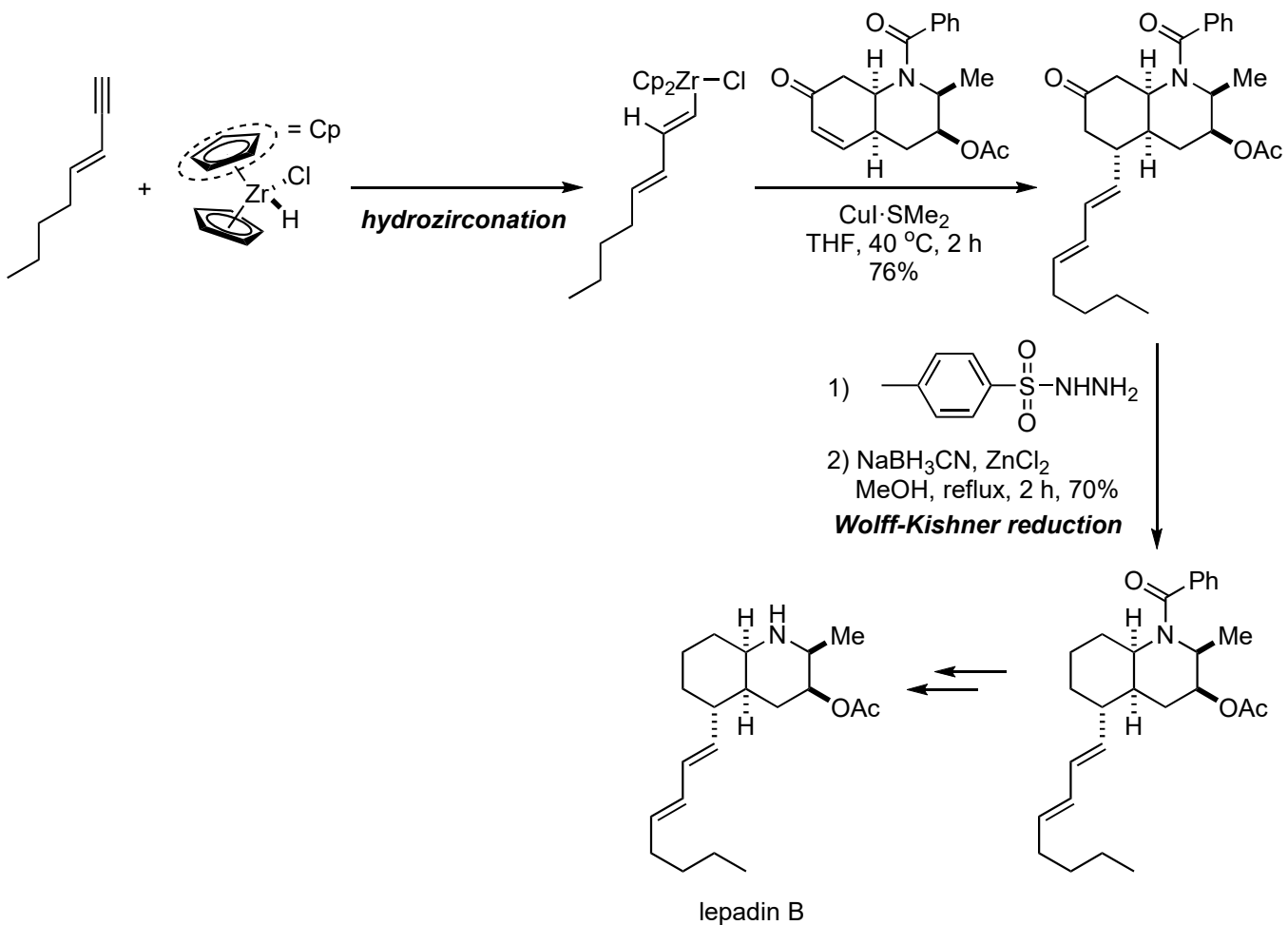
2. Crimmins' Ginkgolide Synthesis

JACS 1993, 115, 3146.

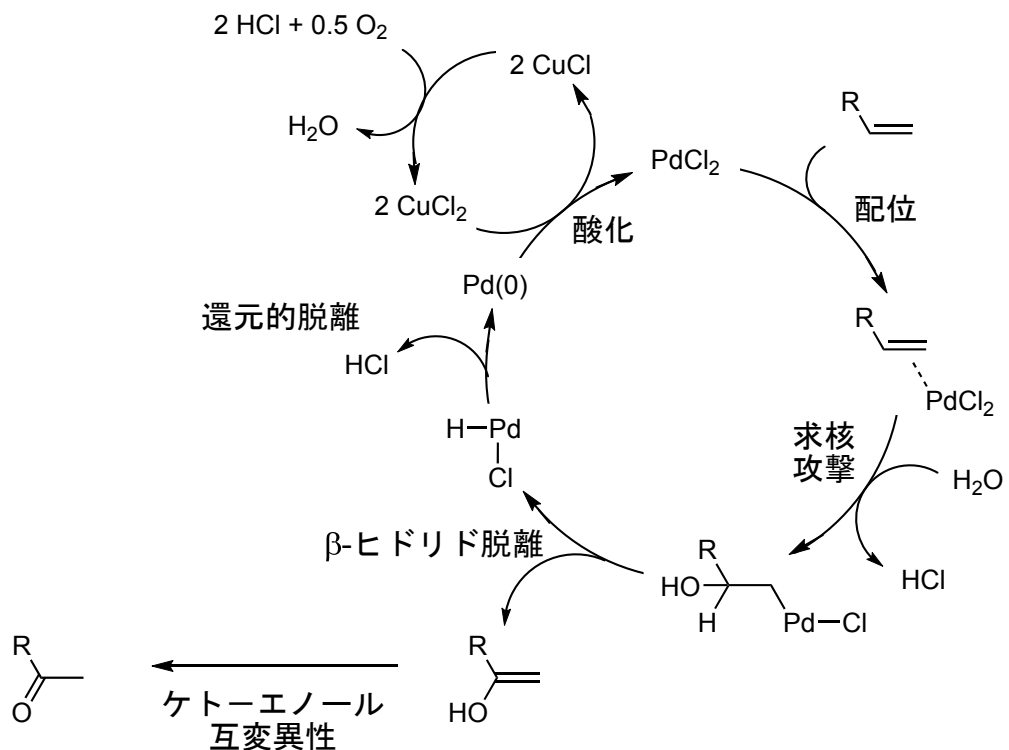
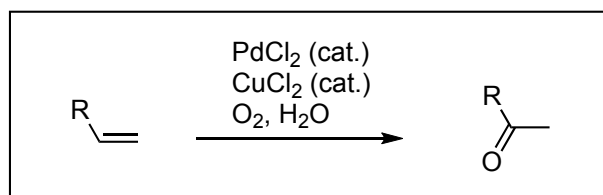


3. Charette's Lepadin B Synthesis

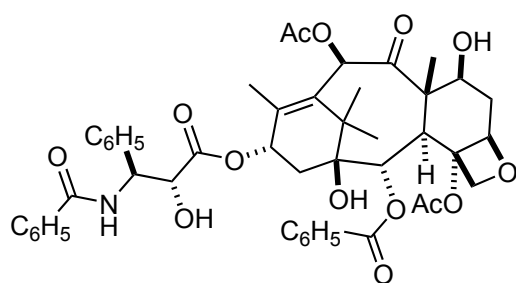
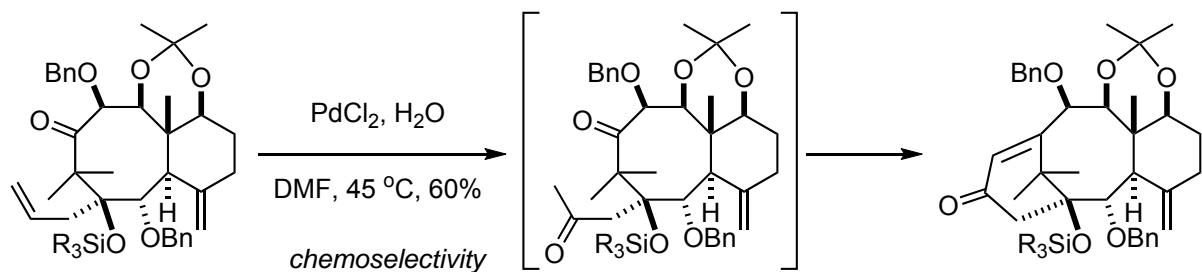
JACS 2008, 130, 13873.



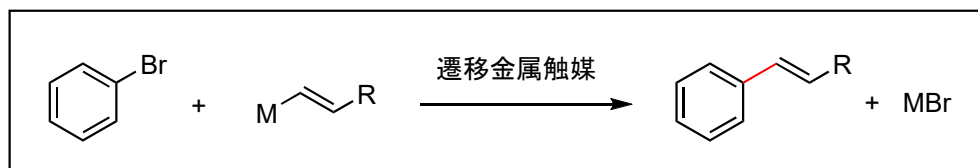
3. Pd触媒によるWacker反応



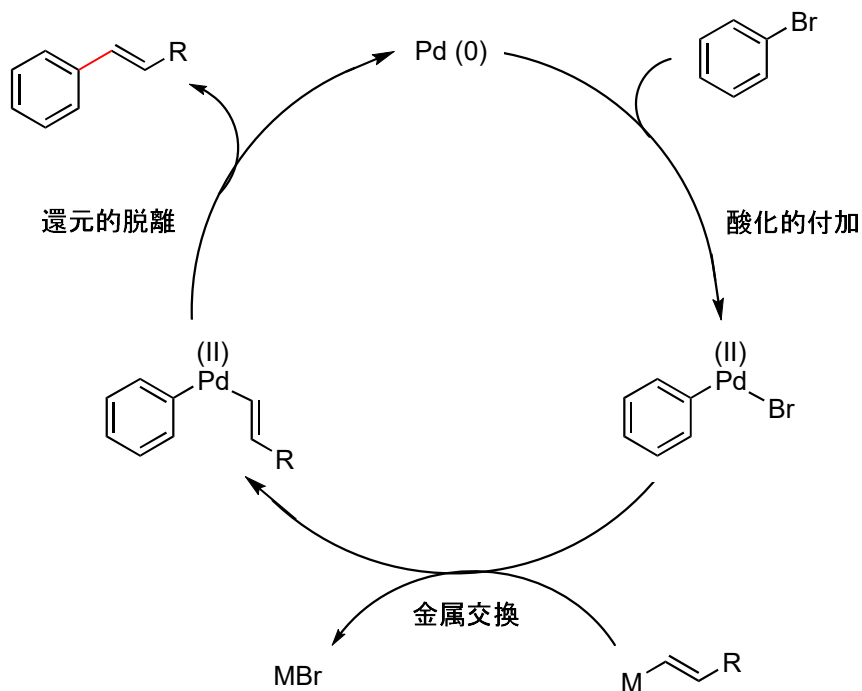
Mukaiyama's Taxol Synthesis



4. Cross-Coupling Reactions



基本的な触媒サイクル



$M = MgX$: Tamao-Kumada-Corriu coupling (Ni cat.)

$M = ZnX$: Negishi coupling

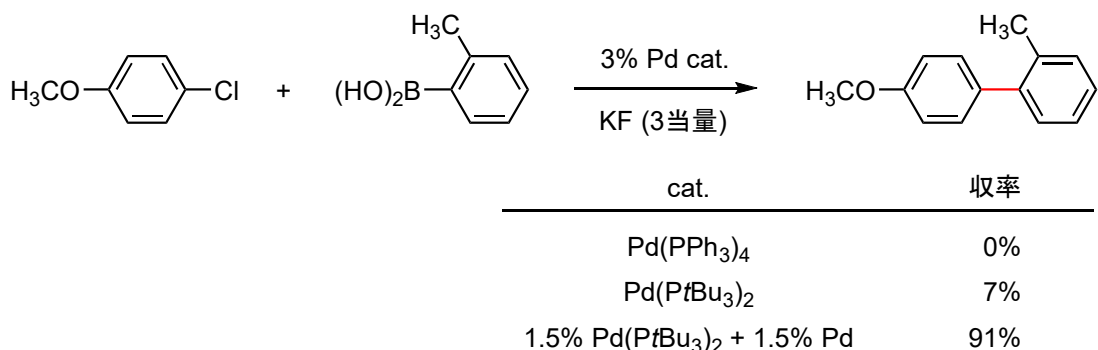
$M = B(OH)_2$: Suzuki-Miyaura coupling

$M = SnR'_3$: Stille coupling

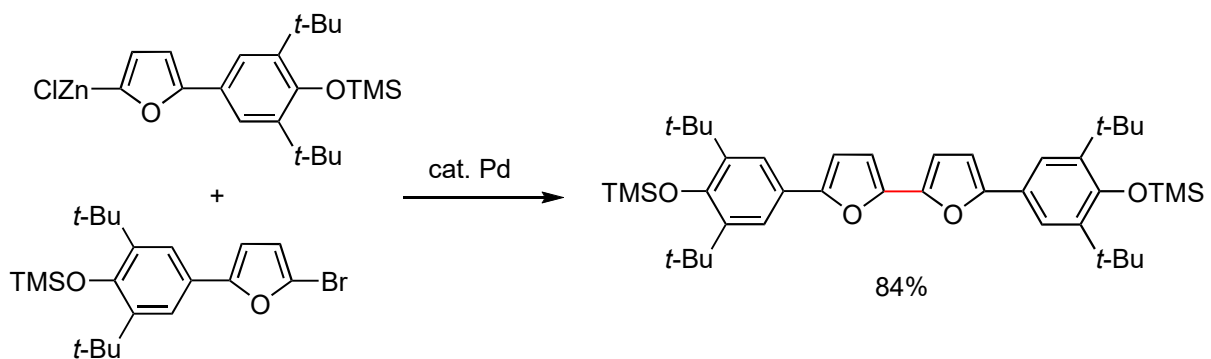
$M = SiX_4$: Hiyama coupling

$M = Cu$: Sonogashira coupling (alkyne)

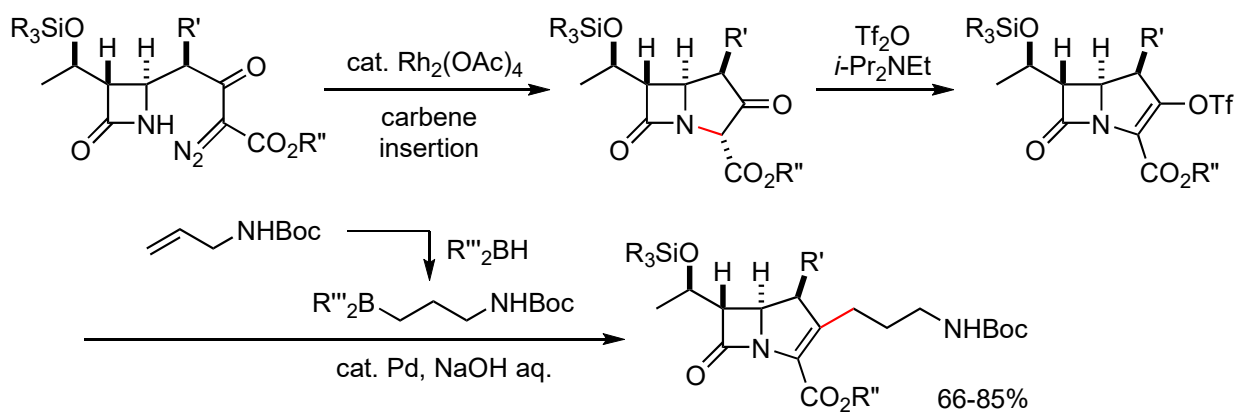
4-1. 配位子効果 (Suzuki-Miyaura coupling)



4-2. 非線形光学材料合成への応用 (Negishi coupling)

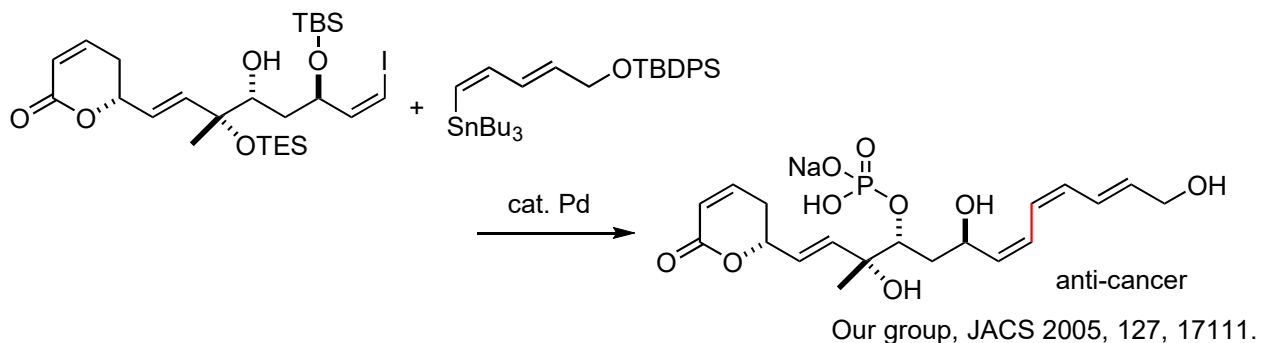


4-3. Carbapenem analog synthesis (Suzuki-Miyaura coupling)

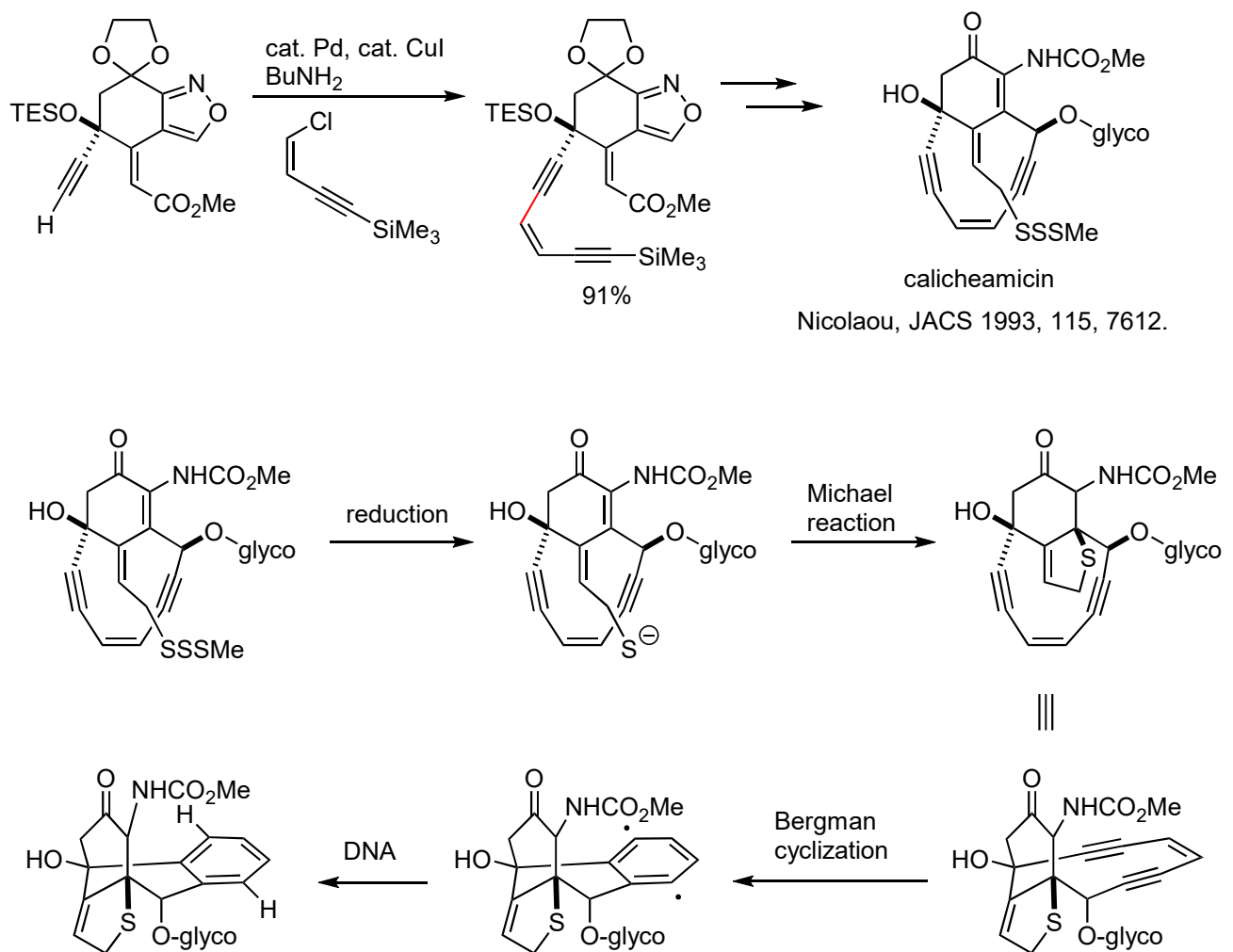


Shionogi group, Tetrahedron 1997, 53, 539.

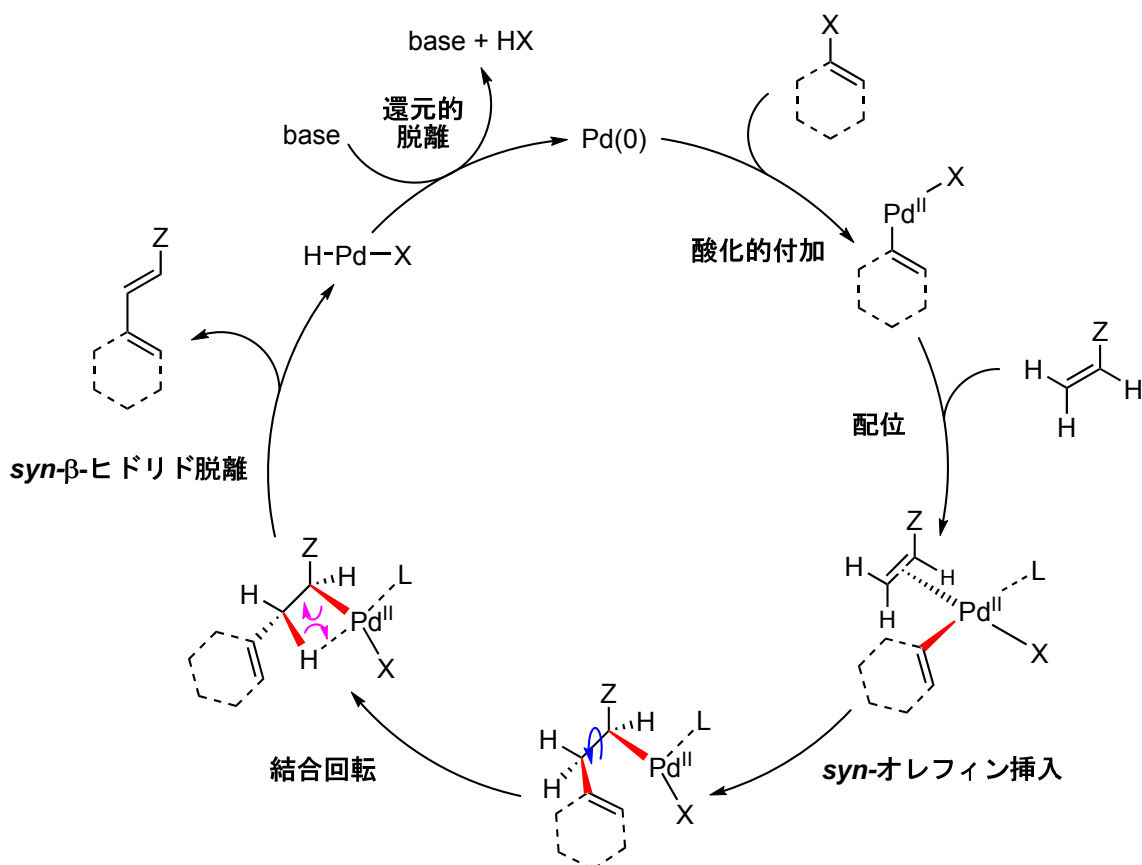
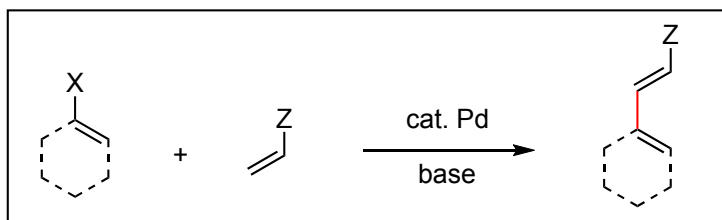
4-4. Fostriecin synthesis (Stille coupling)



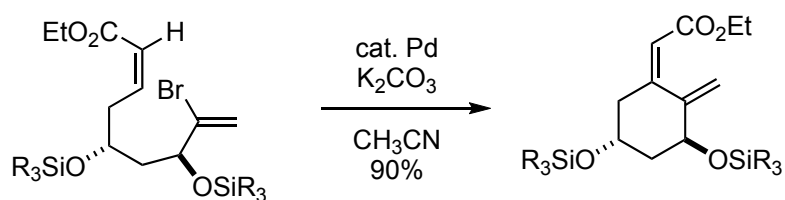
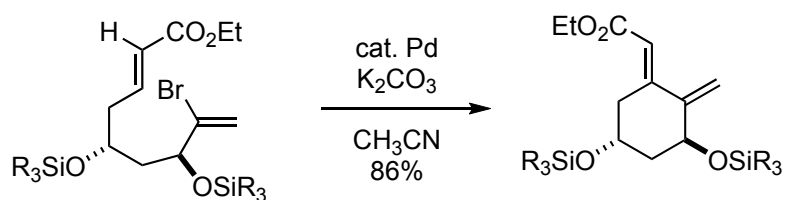
4-5. Ene-diyne natural product synthesis (Sonogashira coupling)



5. Heck reaction

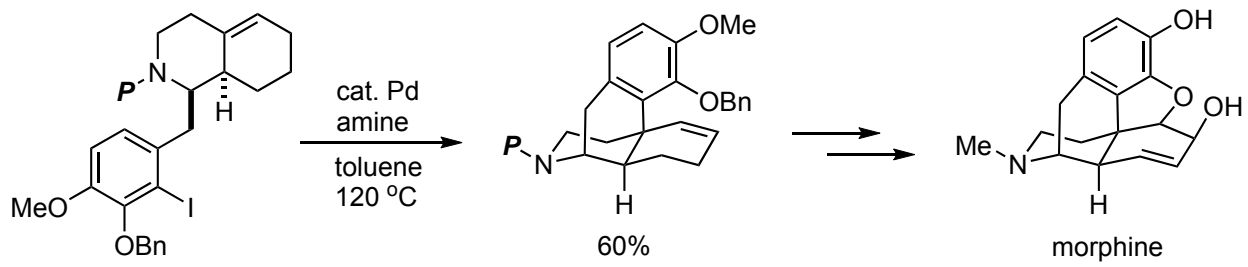


5-1. 立体化学



5-2. Synthetic Application

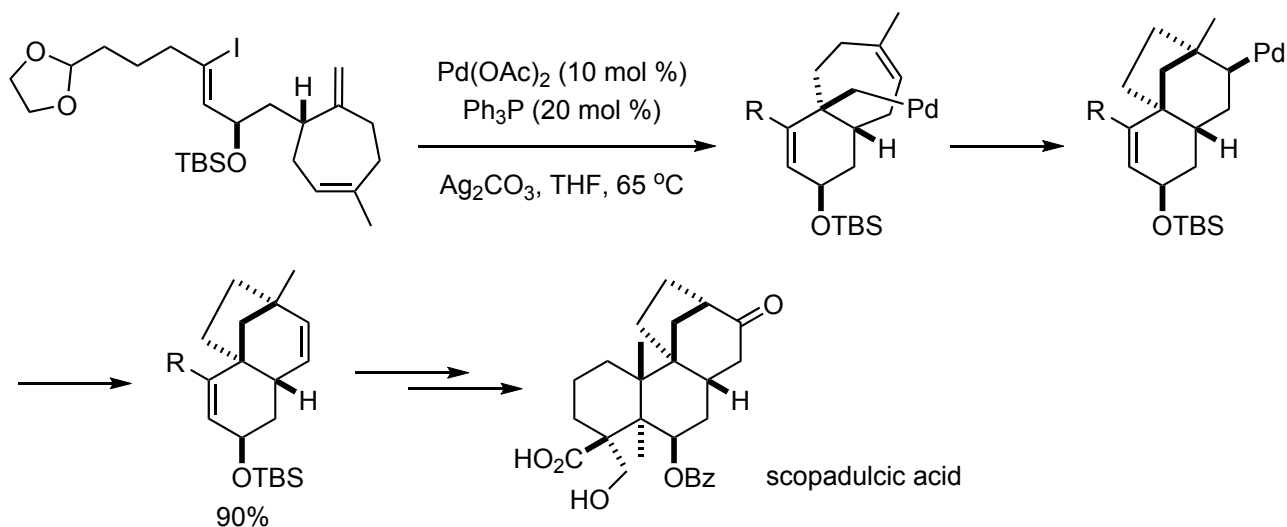
• Overman's Morphine Synthesis



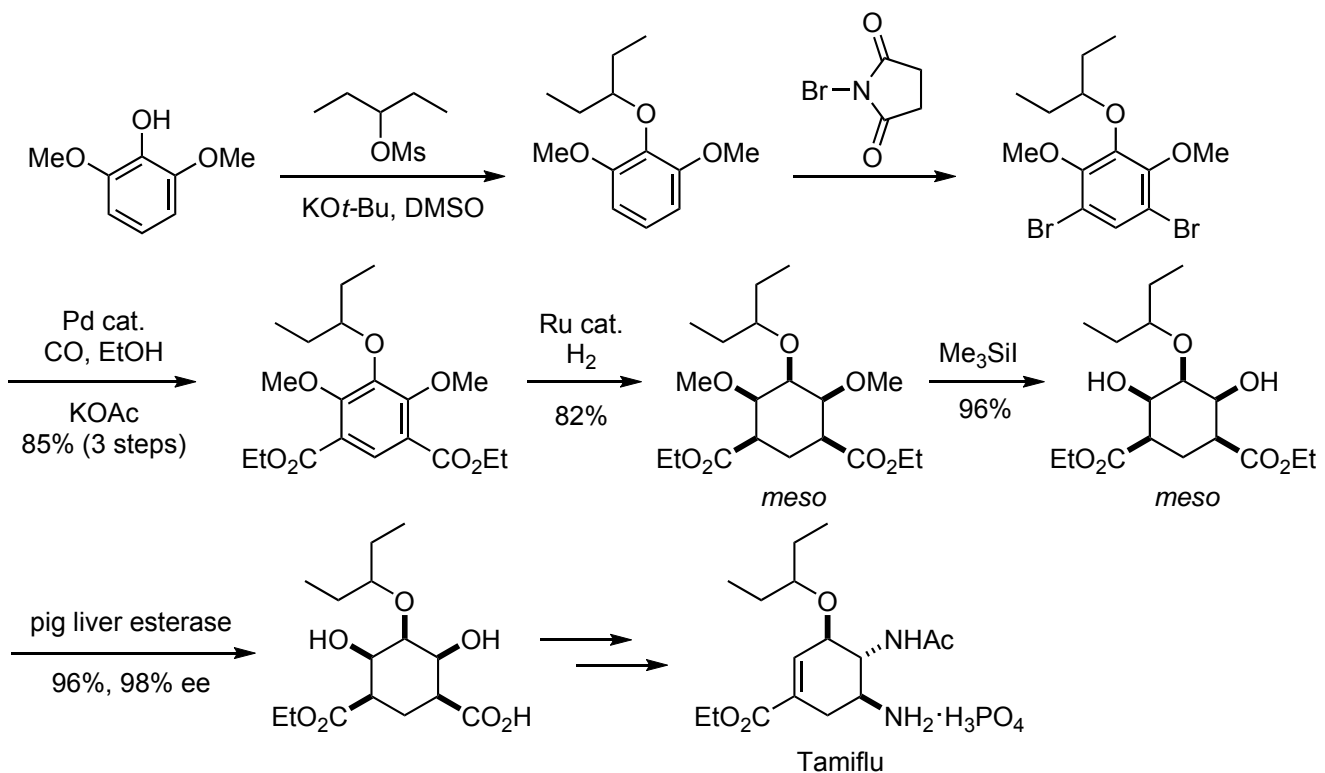
JACS 1993, 115, 11028.

• Overman's Scopadulcic Acid Synthesis (連續Heck反応)

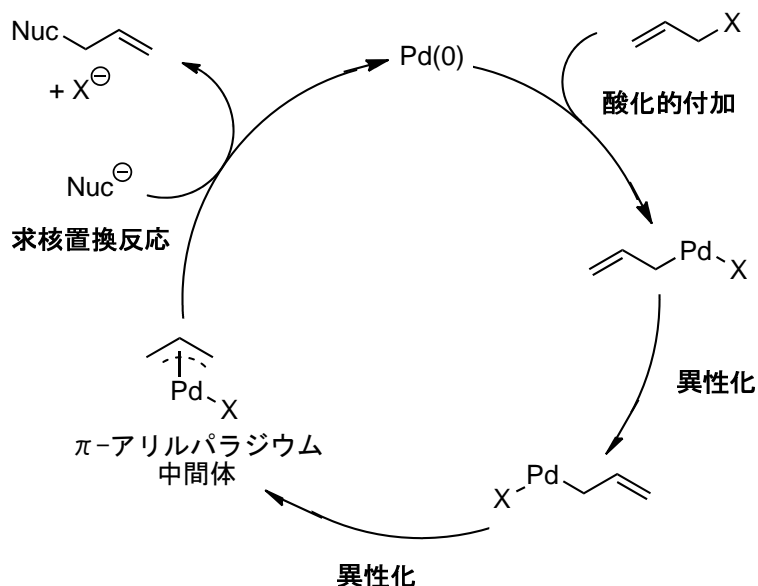
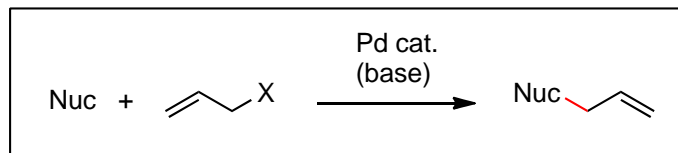
JACS 1999, 121, 5467.



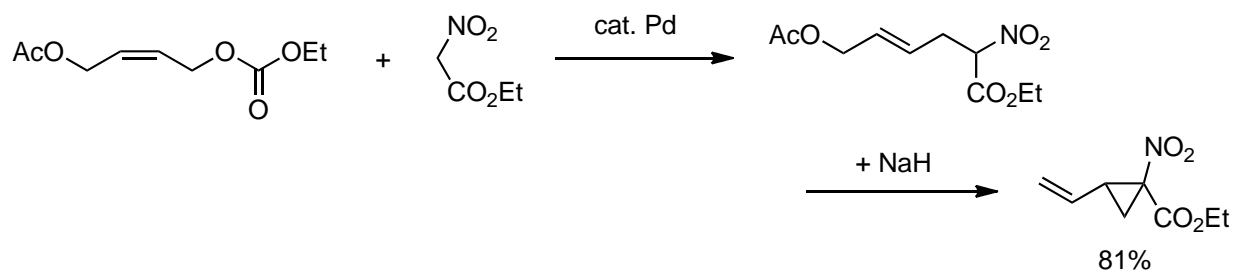
• Roche's Tamiflu Synthesis (カルボニル化反応 (CO挿入))



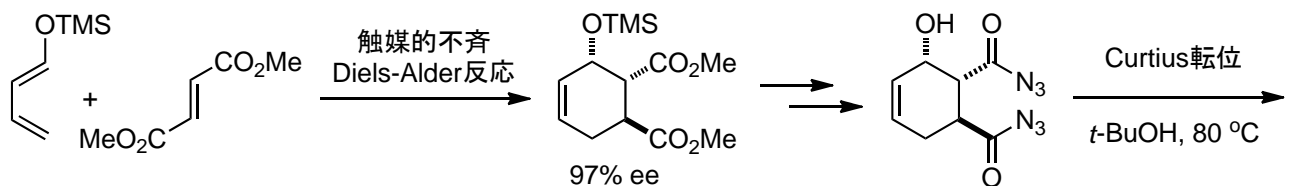
6. π -アリルパラジウムを経由するアリル化反応 (辻-Trost反応)

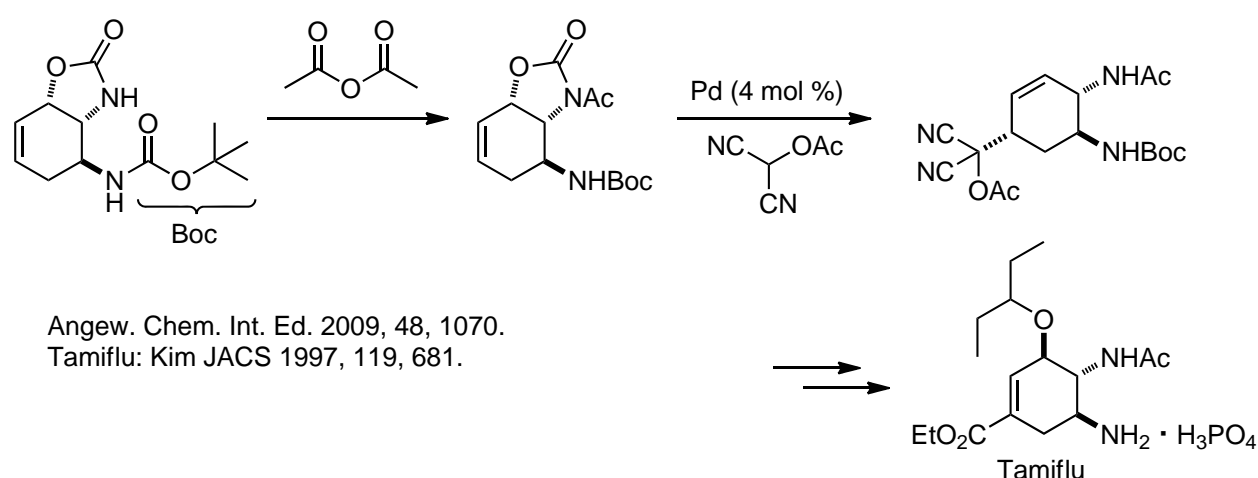


6-1. 連続反応への展開、塩基の有無

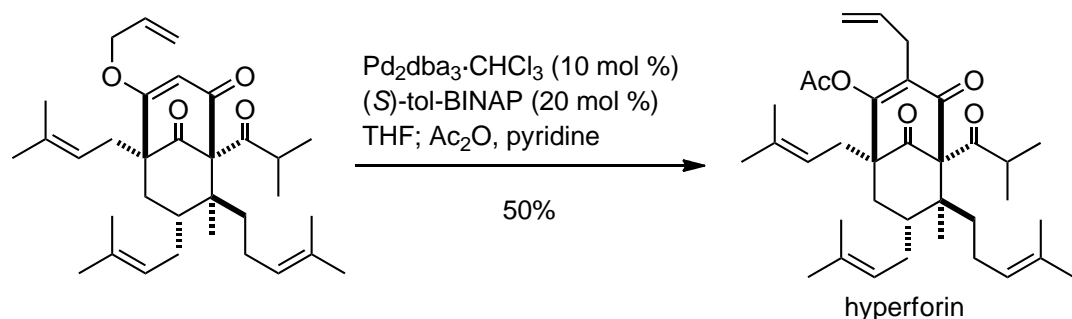


6-2. Tamiflu Synthesis by Our Group

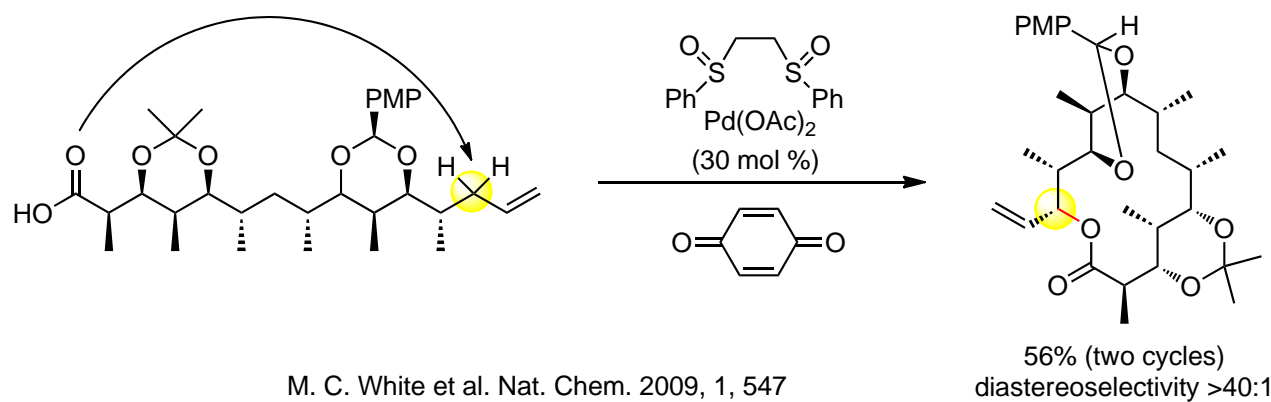




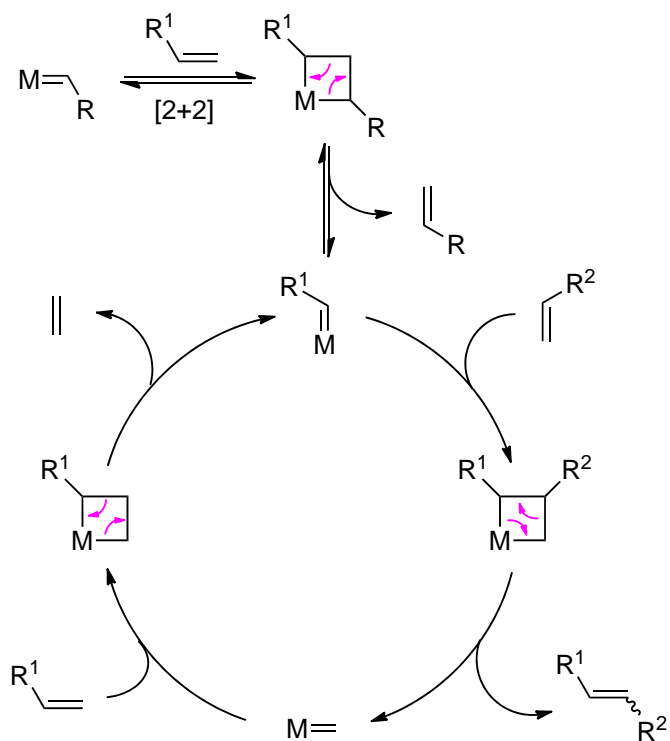
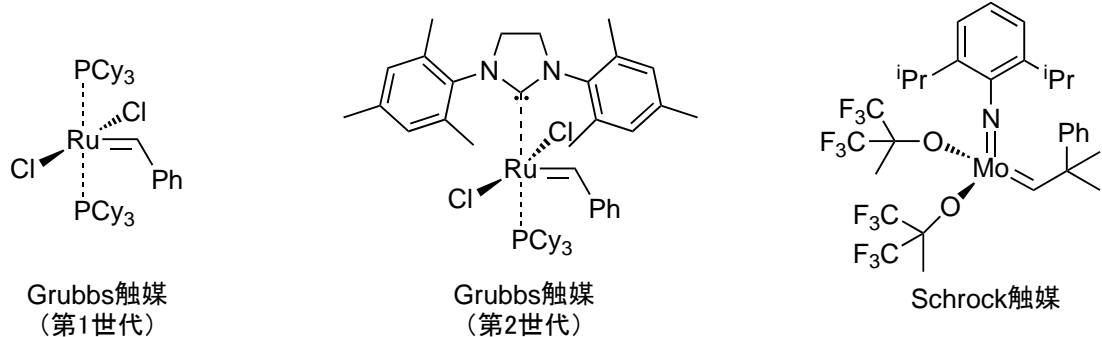
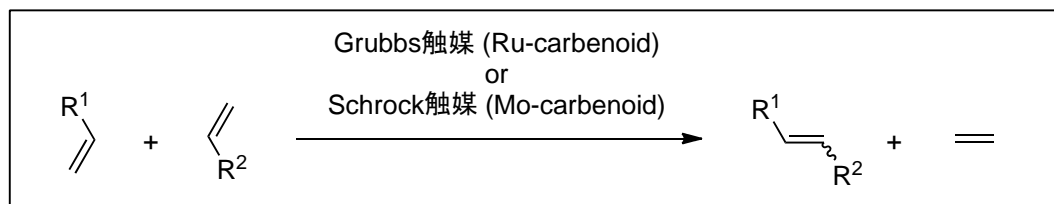
6-3. Hyperforin Synthesis by Our Group



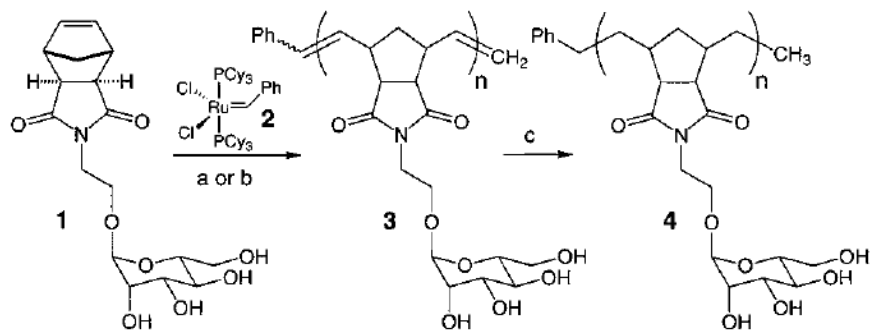
6-4. White's 6-Deoxyerythronolide B Synthesis



7. オレフィンメタセシス



7-1. Ring Opening Metathesis Polymerization (ROMP)



Kiessling, L. L. JACS **1997**, 119, 9931.

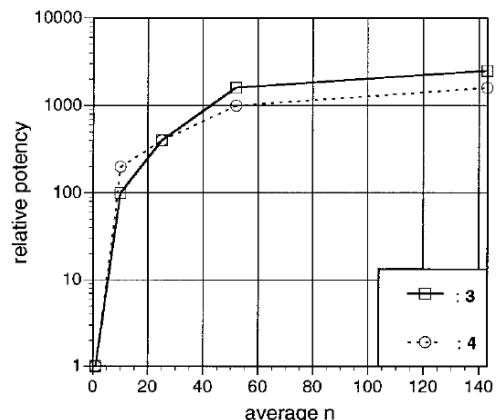
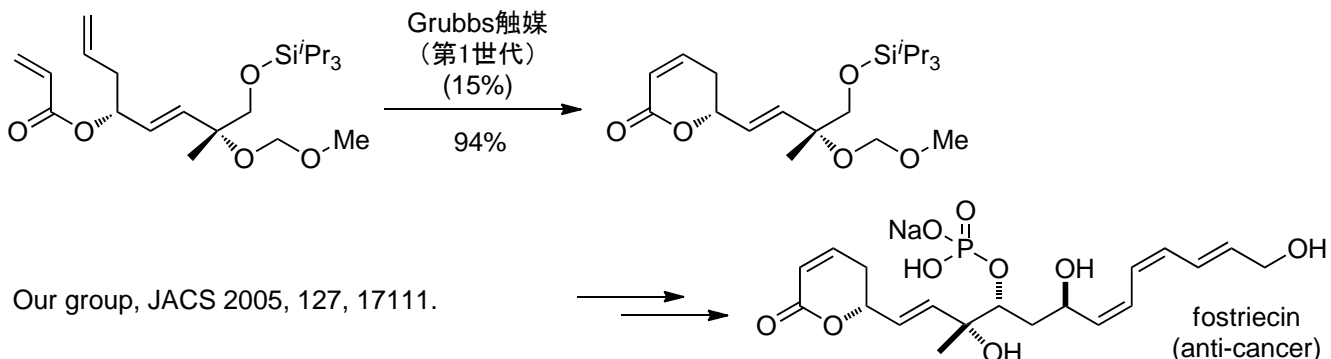


Table 1. Varying the Monomer:Catalyst Ratio Alters the Average Number of Repeat Units (DP) in Neoglycopolymer Series 3

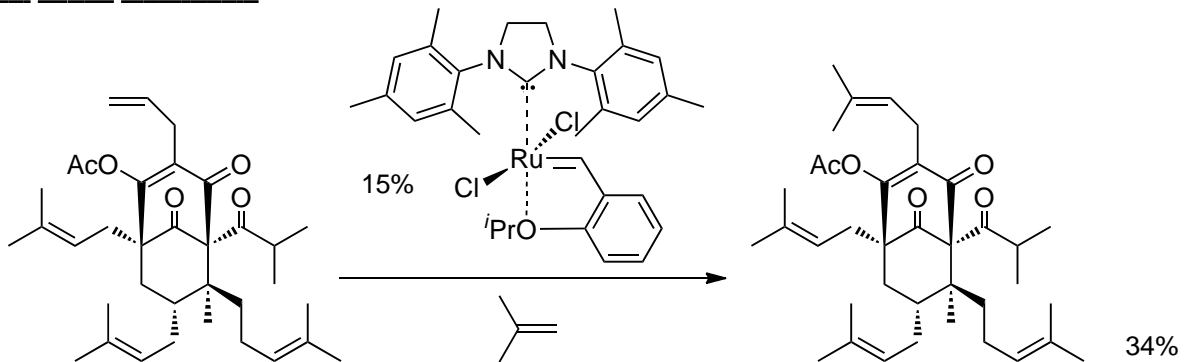
entry	m/c	conditions ^a	av n (DP)	yield/% ^b
1	7/1	a	10	80 (98)
2	25/1	a	25	68 (87)
3	50/1	a	52	68 (91)
4	100/1	b	143	67 (98)

7-2. Ring Closing Metathesis (RCM)



Our group, JACS 2005, 127, 17111.

7-3. Cross Metathesis



Our group, Angew. Chem. Int. Ed. **2010**, 49, 1103.